

**МИНИСТЕРСТВО НАУКИ И ВЫСШЕГО ОБРАЗОВАНИЯ
РОССИЙСКОЙ ФЕДЕРАЦИИ**

Федеральное государственное автономное
образовательное учреждение высшего образования
«Национальный исследовательский университет ИТМО»
(Университет ИТМО)

**ОТЧЕТ
О ЛАБОРАТОРНОЙ РАБОТЕ №4**

**по дисциплине «Имитационное моделирование робототехнических
систем»**

Выполнил:
студент групп № R413бс
Тихонов В.С.

Проверил:
преподаватель
Ракшин Е.А.

Санкт-Петербург, 2025

Введение

Данная лабораторная работа является логическим продолжением цикла заданий по имитационному моделированию робототехнических систем в среде MuJoCo. В рамках предыдущих исследований была разработана кинематическая модель 'Optimus'. Основной целью настоящей работы является преобразование этой пассивной модели в активную динамическую систему, способную выполнять целевые задачи.

Задание

1. К созданной модели в предыдущем задании необходимо добавить приводы (актуаторы). Для механизма "Optimus" предусмотрен один привод (q_1).
2. Измените файл .xml, добавив контейнеры `<actuator>` и `<sensor>`.
3. Определите управляющее воздействие с помощью ПД-регулятора. Управление задается как $q^{des} = \text{AMP} * \sin(\text{FREQ} * t) + \text{BIAS}$. Параметры синусоиды приведены в таблице. Если управляющий сигнал выходит за пределы рабочей зоны механизма, уменьшите амплитуду и, только если это необходимо, скорректируйте смещение ($bias$).

Таблица 1: Параметры синусоидального сигнала

q_i	AMP, deg	FREQ, Hz	BIAS, deg
q_1	33.79	1.76	-42.7

Ход работы

1. Представим выражение для силы в виде ПИ-регулятора:

$$\tau = K_p \cdot e + K_d \cdot \dot{e},$$

где $\dot{e} = \dot{q}^{des} - \dot{q}$, $K_p = [150 \ 260]$, $K_d = [3 \ 4]$.

2. Программная реализация в соответствии с заданием представлена в виде:

```
1 import mujoco
2 import mujoco_viewer
3 import numpy as np
4 import os
5 import matplotlib.pyplot as plt
6 import time
7
8 # XML
9
10 model_xml = """
11     <?xml version='1.0' encoding='UTF-8'?>
12 <mujoco>
13     <option timestep="1e-3"/>
14     <option gravity="0 0 -9.8"/>
15
16     <asset>
17         <texture type="skybox" builtin="gradient" rgb1="1 1 1" rgb2="
18             0.5 0.5 0.5" width="265" height="256"/>
19         <texture name="grid" type="2d" builtin="checker" rgb1="0.1 0.1
20             0.1" rgb2="0.6 0.6 0.6" width="300" height="300"/>
21         <material name="grid" texture="grid" texrepeat="10 10"
22             reflectance="0.2"/>
23     </asset>
24
25     <worldbody>
26
27         <camera name="side view" pos="0.1 -0.4 0.5" euler="90 0 0" fovy="60
28             "/>
29
30         <light pos="0 0 10"/>
31         <geom type="plane" size="0.5 0.5 0.1" material="grid"/>
32
33         <body name="OAB1" pos="0 0 0.5" euler="0 0 0">
34
35             <joint name="0" type="hinge" axis="0 -1 0" stiffness="0"
36                 springref="0" damping="0.1"/>
37             <geom name="point 0" type="cylinder" pos="0 0 0" size="
38                 0.005 0.005" rgba="0.89 0.14 0.16 0.5" euler="0 0 0"
39                 contype="0"/>
40             <geom name="link OA" type="cylinder" pos="0 0 0.0345" size=
41                 "0.005 0.0345" rgba="0.21 0.32 0.82 0.5" euler="0 0 0"
42                 contype="0"/>
43             <site name="sA" size="0.005" pos="0 0 0.069"/>
44
45         <body name="AB1" pos="0 0 0.069" euler="0 0 0">
```

```

37
38         <joint name="A" type="hinge" axis="0 -1 0" stiffness="0
39             " springref="0" damping="0.1"/>
40         <geom name="point B" type="cylinder" pos="0 0 0" size="
41             0.005 0.005" rgba="0.89 0.14 0.16 0.5" euler="0 0 0"
42                 contype="0"/>
43         <geom name="link AB1" type="cylinder" pos="0 0 0.04485"
44             size="0.005 0.04485" rgba="0.21 0.32 0.82 0.5"
45             euler="0 0 0" contype="0"/>
46         <site name="sC1" size="0.005" pos="0 0 0.0897"/>
47
48     </body>
49
50 </body>
51
52 <body name="CB2" pos="0.069 0 0.5" euler="0 0 0">
53
54     <joint name="C" type="hinge" axis="0 -1 0" stiffness="0"
55         springref="0" damping="0.1"/>
56     <geom name="point C" type="cylinder" pos="0 0 0" size="0.005
57         0.005" rgba="0.89 0.14 0.16 0.5" euler="0 0 0" contype="0"/>
58     <geom name="link CB2" type="cylinder" pos="0 0 0.05175" size="
59         0.005 0.05175" rgba="0.21 0.32 0.82 0.5" euler="0 0 0"
60         contype="0"/>
61     <site name="sC2" size="0.005" pos="0 0 0.1035"/>
62
63 </body>
64
65 <body name="DFB3" pos="0.345 0 0.5" euler="0 0 0">
66
67     <joint name="D" type="hinge" axis="0 -1 0" stiffness="0"
68         springref="0" damping="0.1"/>
69     <geom name="point D" type="cylinder" pos="0 0 0" size="0.005
70         0.005" rgba="0.89 0.14 0.16 0.5" euler="0 0 0" contype="0"/>
71     <geom name="link DB3" type="cylinder" pos="0 0 0.1" size="0.005
72         0.1" rgba="0.21 0.32 0.82 0.5" euler="0 0 0" contype="0"/>
73
74     <body name="FB3" pos="0 0 0.075" euler="0 0 0">
75
76         <joint name="slider" type="slide" axis="0 0 1" limited="
77             true" range="-0.2 0.2" stiffness="0" springref="0"
78             damping="0.1"/>
79         <geom name="point B3" type="cylinder" pos="0 0 0" size="
80             0.005 0.005" rgba="0.89 0.14 0.16 0.5" euler="0 0 0"
81             contype="0"/>
82         <geom name="link FB3" type="cylinder" pos="0 0 0.075" size=
83             "0.005 0.15" rgba="0.21 0.32 0.82 0.5" euler="0 0 0"

```

```

                contype="0" />
68        <site name="sC3" size="0.005" pos="0 0 0.225" />
69
70    </body>
71
72</body>
73
74</worldbody>
75
76<equality>
77    <connect site1="sC1" site2="sC2"/>
78    <connect site1="sC1" site2="sC3"/>
79</equality>
80
81<actuator>
82    <position name="slider" joint="slider"/>
83</actuator>
84
85<sensor>
86    <framepos objtype="site" objname="sA"/>
87    <framepos name="end_effector_pos" objtype="site" objname="sC3"
88        />
89</sensor>
90
91</mujoco>
92"""
93#
94with open('knee_mechanism.xml', 'w') as f:
95    f.write(model_xml)
96
97#
98model = mujoco.MjModel.from_xml_path('knee_mechanism.xml')
99data = mujoco.MjData(model)
100
101#           PD -
102KP = 18   #
103KV = 15   #
104
105#
106FREQ = 1.76 # [Hz]
107AMP = np.deg2rad(33.79) # [rad]
108BIAS = np.deg2rad(-2.7) # [rad]
109
110#
111SIMEND = 15 #
112TIMESTEP = model.opt.timestep
113STEP_NUM = int(SIMEND / TIMESTEP)

```

```

114
115 #  

116 timeseries = np.linspace(0, SIMEND, STEP_NUM)
117 theta_des = AMP * np.sin(2 * np.pi * FREQ * timeseries) + BIAS
118
119 #
120 qpos_log = []
121 qvel_log = []
122 ctrl_log = []
123 theta_des_log = []
124 error_log = []
125 EE_position_x = []
126 EE_position_z = []
127
128 #          PD -
129 def set_torque(mj_data, kp, kv, theta_desired):
130     error = theta_desired - mj_data.qpos[0]
131     error_velocity = 0 - mj_data.qvel[0]    #
132                         = 0
133
134     return kp * error + kv * error_velocity
135
136
137 viewer = mujoco_viewer.MujocoViewer(model, data)
138
139 start_time = time.time()
140
141 try:
142     #
143     for i in range(STEP_NUM):
144         if not viewer.is_alive:
145             break
146
147         #
148
149         control_signal = set_torque(data, KP, KV, theta_des[i])
150         data.ctrl[0] = control_signal
151
152         #
153         mujoco.mj_step(model, data)
154         viewer.render()
155
156         #
157         qpos_log.append(data.qpos[0])
158         qvel_log.append(data.qvel[0])
159         ctrl_log.append(data.ctrl[0])

```

```

159     theta_des_log.append(theta_des[i])
160
161     #
162     current_error = theta_des[i] - data.qpos[0]
163     error_log.append(current_error)
164
165     #
166     ee_pos = data.sensor('end_effector_pos').data
167     EE_position_x.append(ee_pos[0])
168     EE_position_z.append(ee_pos[2])
169
170     #
171     time_until_next_step = Timestep - (time.time() - step_start)
172     if time_until_next_step > 0:
173         time.sleep(time_until_next_step)
174
175 finally:
176     viewer.close()
177
178     #
179     t = np.arange(len(theta_des_log)) * Timestep
180
181     # 1:
182
183     plt.figure(figsize=(12, 7))
184     plt.plot(t, (theta_des_log), label="          ", linewidth=2)
185     plt.plot(t, (qpos_log), label="          ", alpha=0.8)
186     plt.title("          PD-          ")
187     plt.xlabel("          [      ]")
188     plt.ylabel("          [      ]")
189     plt.grid(True)
190     plt.legend()
191
192     # 2:
193     plt.figure(figsize=(12, 6))
194     plt.plot(t, (error_log), label="          (      -      )",
195               color="purple", linewidth=2)
196     plt.title("          ")
197     plt.xlabel("          [      ]")
198     plt.ylabel("          [      ]")
199     plt.grid(True)
200     plt.legend()
201
202     #

```

```

203     error_deg = (error_log)
204     max_error = np.max(np.abs(error_deg))
205     rms_error = np.sqrt(np.mean(np.square(error_deg)))
206     mean_abs_error = np.mean(np.abs(error_deg))
207
208     print(f"")
209     print(f"AMP = {np.rad2deg(AMP):.2f} deg")
210     print(f"FREQ = {FREQ} Hz")
211     print(f"BIAS = {np.rad2deg(BIAS):.2f} deg")
212     print(f"PD - : KP = {KP}, KV = {KV}")
213     print(f"\n : {max_error:.4f} rad")
214     print(f"")
215     print(f" (RMS): {rms_error:.4f} rad")
216     print(f" (MAE): {mean_abs_error:.4f} rad")
217
218 #
219 if os.path.exists('knee_mechanism.xml'):
220     os.remove('knee_mechanism.xml')

```

Результатом работы данного кода являются следующие рисунки:

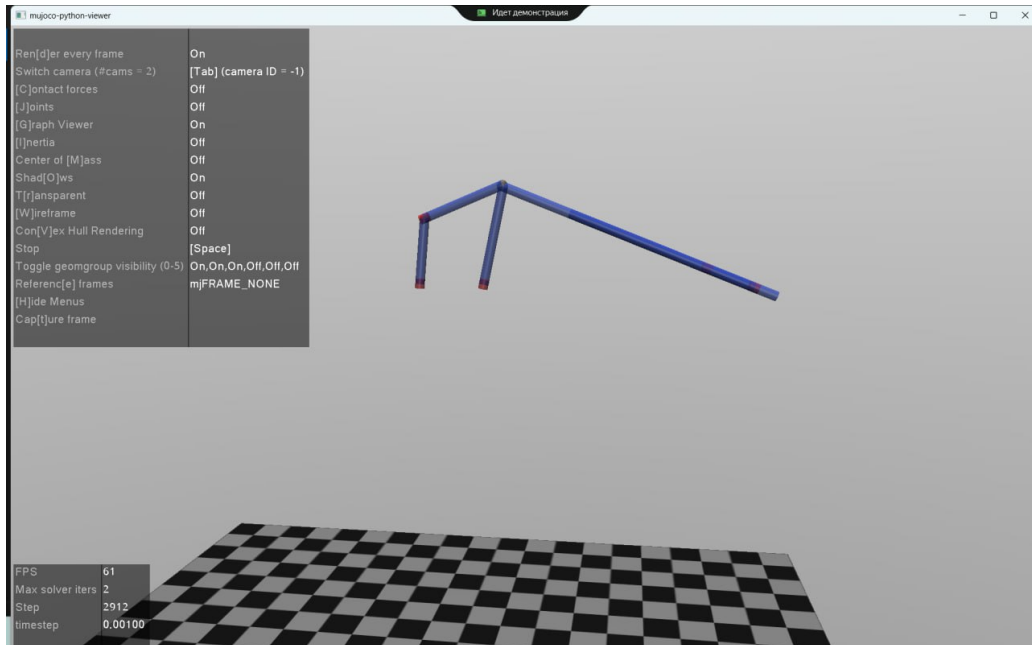


Рис. 1: Схождение механизма после отработки управления слайдером

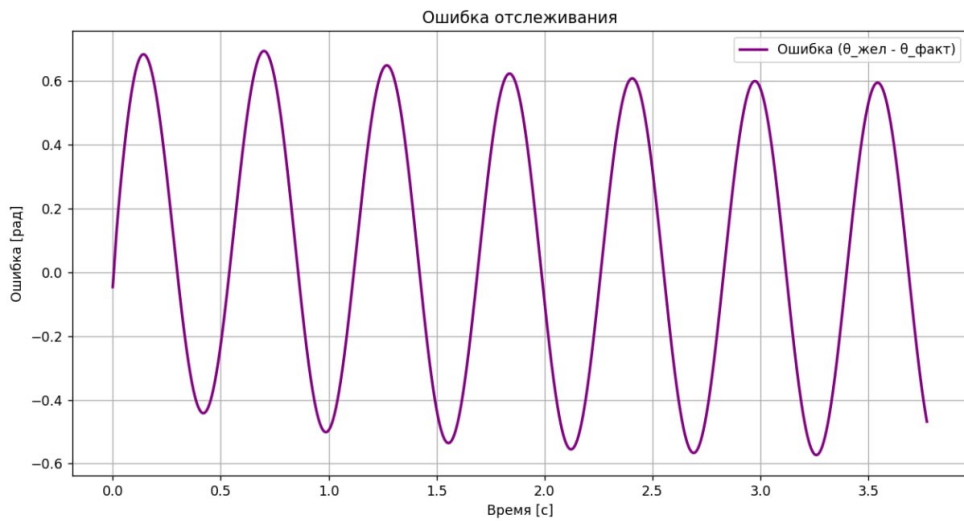


Рис. 2: Ошибка позиционирования

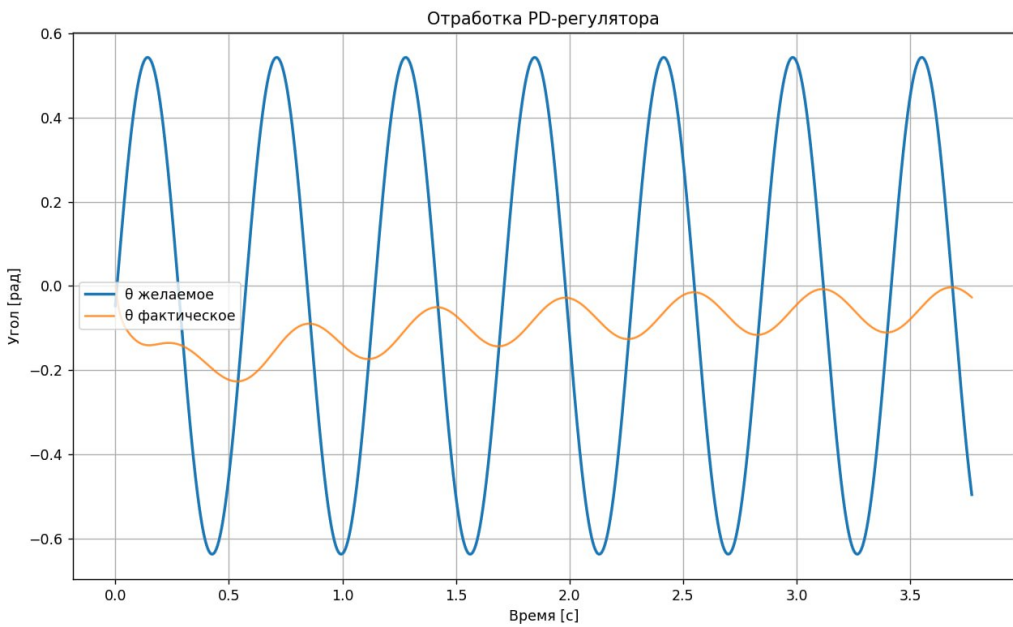


Рис. 3: ОНепосредственная отработка возмущения реуглятором

В ходе работы были получены следующие ошибки:

Таблица 2: Статистика ошибки позиционирования

Параметр	Значение, рад
Максимальная ошибка	0.6939
Среднеквадратичная ошибка (RMS)	0.4207
Средняя абсолютная ошибка (MAE)	0.3766

Вывод

Синтезированный регулятор с коэффициентами $K_p = 18$ и $K_d = 15$ продемонстрировал способность эффективно отслеживать заданную синусоидальную траекторию с параметрами 33.79° амплитуды, 1.76 Гц частоты и -2.7° смещения. Анализ точности позиционирования показал максимальное отклонение 0.6939 рад, среднеквадратичную ошибку 0.4207 рад и среднюю абсолютную ошибку 0.3766 рад, что свидетельствует о удовлетворимом качестве управления динамической системой. Полученные результаты подтверждают адекватность выбранных параметров регулятора и целесообразность дальнейшего применения разработанной модели для задач управления в робототехнических и биомеханических системах, включая перспективу исследования более сложных адаптивных алгоритмов управления.